

MOLECULAR IMAGING

Functional Imaging Methods
Multi-Modality



Semmelweis
NIVIC

Máthé, Domokos PhD

Nanobiotechnology and In Vivo Imaging Center

Overview

- What do we call molecular imaging and why?
- What can we exploit to obtain molecular imaging data?
- Research-oriented molecular imaging methodologies (in general)
- Clinical application possibilities of molecular imaging
(screening, diagnostics, personalized therapy, monitoring/follow-up)
- Most actually important methods in M.I., outlook for tomorrow
PET, SPECT, MRI, Planar Fluorescence, Optical Tomographies)
Onkológia, idegtudomány, kardiovaszkuláris medicina, reumatológia, endokrinológia, sebészet
- Correlation of functional and morphological information
- PACS and clinical relevance of image segmentation/registration



- Molecular Biology + In-Vivo Non-Invasive Imaging?

“Imaging is the extraction of information in time and space at all levels of biological organization”

(Dr. Elias Zerhouni, XIVth NIH Director)

“Molecular imaging is the **visualization**, **characterization**, and **measurement** of **biological** processes at the molecular and cellular levels in humans and other living systems.”

(definition by the U.S. Society of Nuclear Medicine and Molecular Imaging)



Semmelweis
NIVIC

Nanobiotechnology and In Vivo Imaging Center

Molecular Imaging Ideals:

B i o l o g i c a l

Visualization

Characterization

Measurement

Signal to Noise Ratio

Time Resolution
(when?)
(how?)

Robustness
Repeatability

Accuracy of
Information
(where?)
Spatial Resolution
(yes or no?)

Magnitude and Density
of Information
(how?)

Quantitation
Accuracy
(how much?)

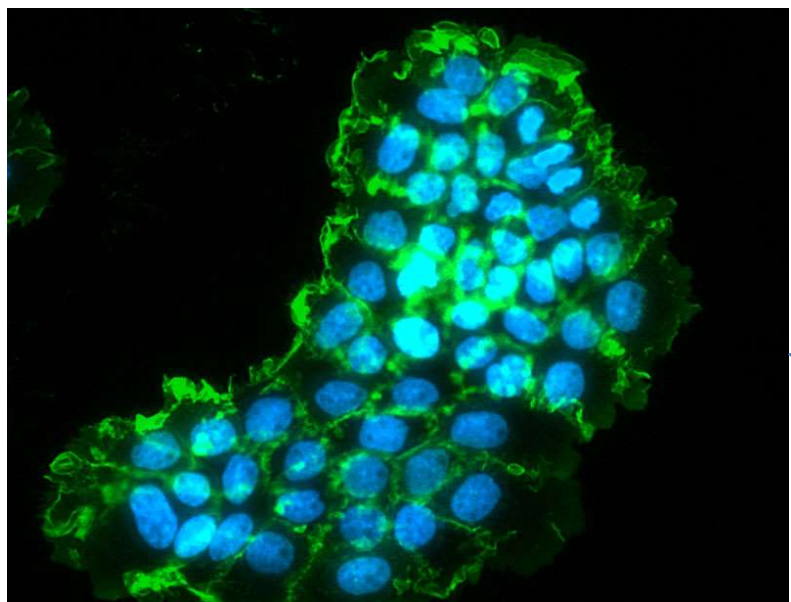
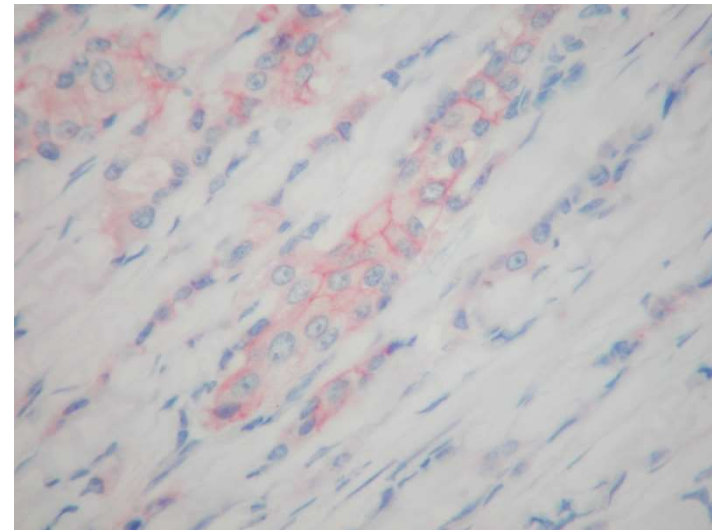


Semmelweis
NIVIC

Nanobiotechnology and In Vivo Imaging Center

Microscopy: Immunohistochemistry, immunofluorescence

IHC: Targeted antibody reacts with somatostatin 2a receptors over-expressed in insulinoma (300x, H&E counterstain, reaction is RED)



A431 epithelial cc. tumor cells, nuclei stained with Hoechst-blue, PHOSPHORILATED EGF receptors in cell membrane are GREEN using an antibody coupled to 488 nm emission DyLight fluorescent stain



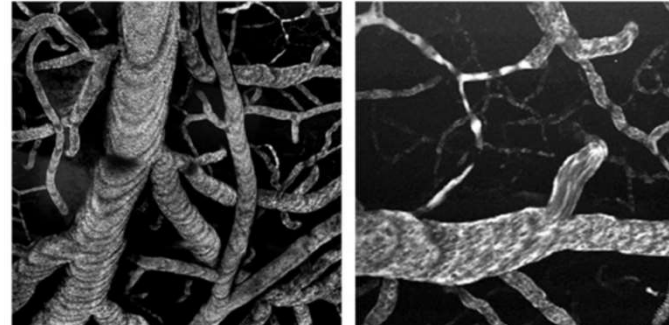
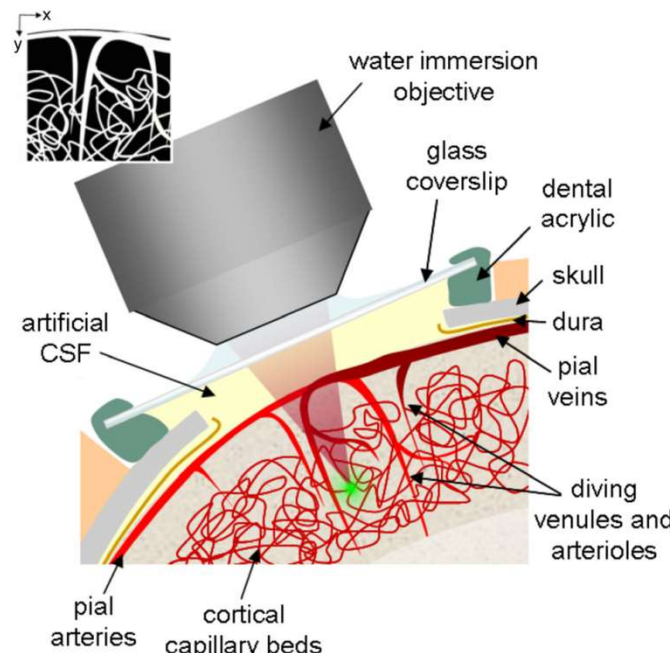
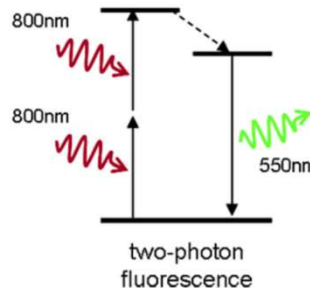
Semmelweis
NIVIC

Nanobiotechnology and In Vivo Imaging Center

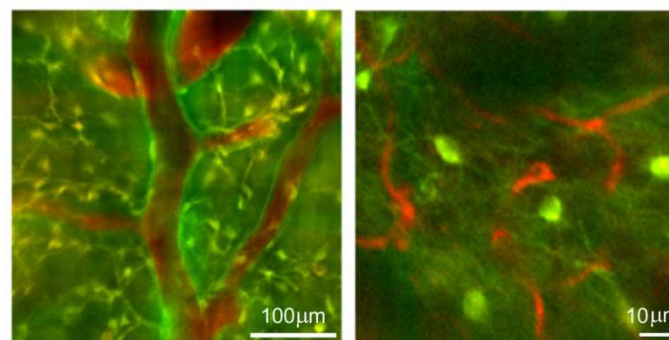
Nanobiotechnológiai és In Vivo Képalkotó Központ

High definition methods in live animals: in vivo dual photon microscopy

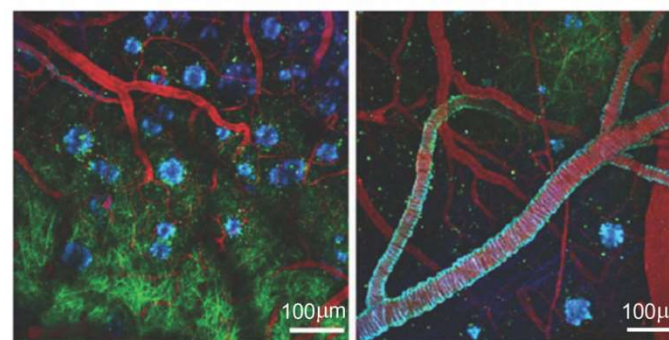
better S/N ratio
increased resolution



Pattern of RBC flow in brain vessels



Vessels and neurons (dextran Texas Red and GFP-TG mouse)



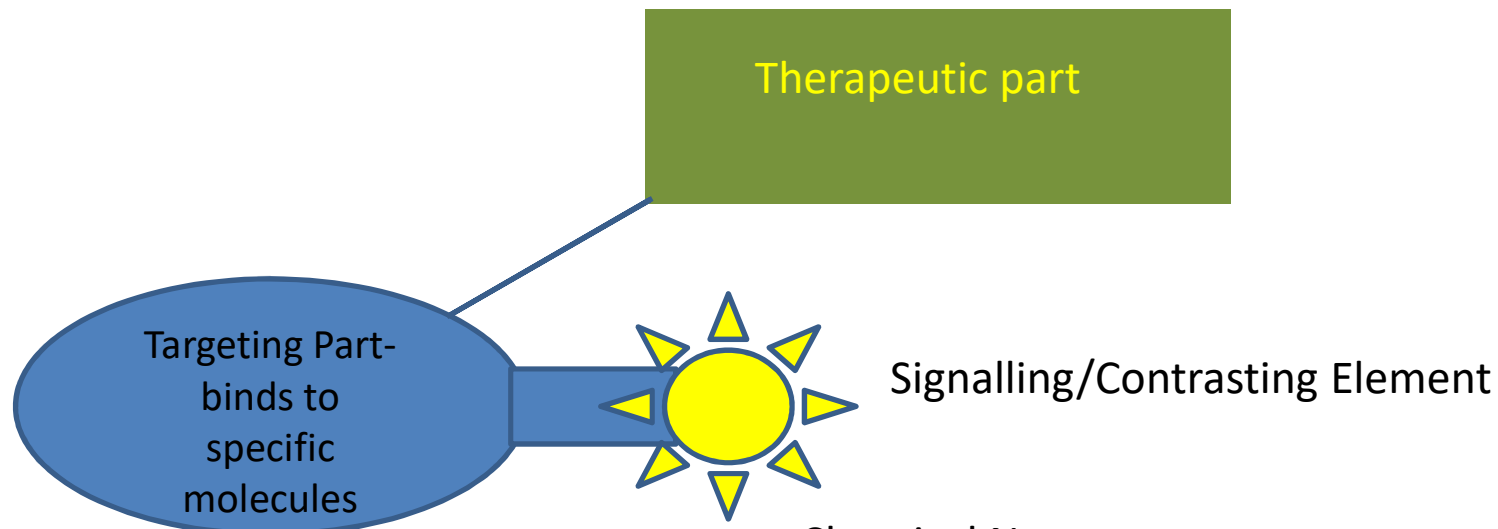
Amiloid plaques (Blue), Vessels (red) neurons(green)



Semmelweis
NIVIC

Nanobiotechnology and In Vivo Imaging Center

General Structure of a Molecular Probe



Small Molecules
Peptides
Proteins/Subunits
Antibodies/Subunits

Chemical Nature:

PET/SPECT: isotopes (radioactivity)
Optical/Acoustic: Fluorescent Dyes
MRI: Gd, Fe
CT: iodine, Barium sulphate

Nano/microparticles:

Optical: quantum dot, carbon nanotubes,
Au particles
MRI: iron and Mn-oxide particles
CT: golden particles

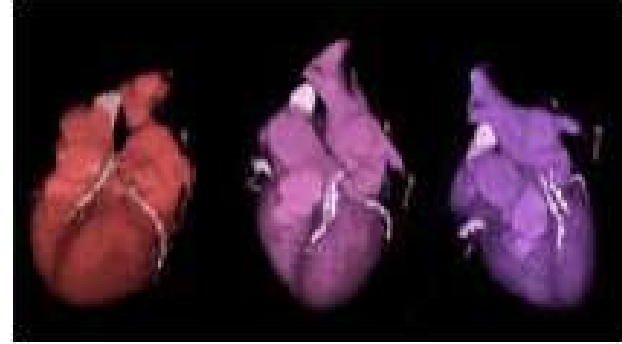


Semmelweis
NIVIC

Nanobiotechnology and In Vivo Imaging Center

Modalitás	Előnyei	Hátrányai	Fontos kontrasztanyag/jel	Klinikai alkalmazás példái
CT	Any image depths Good time resolution Perces kép-idők Közepesen drága Anatómiai módszer	Sugárterhelés Rossz lágyszöveti kontraszt Jelenleg csak anatómiai és funkcionális képalk.	Ba, I, Kr, Xe	Tumor perfúzió,
PET	Bármilyen mélységű kép Egésztest-képalkotás Kvantitatív mérések Kombinálható CT/MRI-vel	Sugárterhelés Drága Milliméteres felbontás Hosszabb képidő (perc-óra)	C-11, F-18, Ga-68, Cu-64, Zr-89	FDG-PET tumor staging, különböző betegségek diagnosztikája
SPECT	Bármilyen mélységű kép Egésztest-képalkotás Kvantitatív mérések Multiplex Teragnosztika Kombinálható CT-vel	Sugárterhelés Szubmilliméteres-milliméteres felbontás Hosszabb képidők	Tc-99m, I-123, In-111, Lu-177	Molekuláris diagnosztika Radioterápia (NHL, NET, pm. cc.)
MRI	Bármilyen mélységű kép Egésztest-képalkotás Nincs ionizáló sugárzás Kitűnő lágyszöveti kontraszt	Drága Hosszú képidők Korlátozott érzékenység	Gd ³⁺ , vas-oxid részecskék (SPIO, USPIO)	Prostata daganat nycs. met. Fokális májléziók Szív perfúzió
MRS	Nincs ionizáló sugárzása Egésztest-képalkotás	Drága Hosszú képidők Kis érzékenység	Kolin, laktát, kreatin, lipidek, N-acetyl-aszpartát	Agytumorok anyagcseréje Alzheimer-kór követése
UH	Nincs ionizáló sugárzás Rövid/valósidejű képalkotás Nagy térbeli felbontás Olcsóság Nagy érzékenység	Egésztest-képalkotás nincs Kontrasztanyagok csak az érrendszerre Operátor-függő	Mikro-buborékok	Fokális májléziók, echokardiográfia, Tumor perfúzió
Optikai módszerek	Nincs ionizáló sugárzás Rövid/valósidejű képalkotás Nagy térbeli felbontás Olcsóság Nagy érzékenység, kvantitatív Multiplex	Korlátozott áthatolóképesség (1 cm) Nincs egésztest-képalkotás	Fluoreszcens molekulák és festékek, fény-elnyelő nanorészecskék	OCT-érelmeszesedés, retinopathiák, kolonoszkópia

Nanobiotechnológiai és In Vivo Képalkotó Központ

CT	3D Attenuation Map of X-Rays	
Advantages	Any Imaging Depth Good Resolution Simple Medium-Priced Sub-minute scan times	
Disadvantages	Radiation Dose Soft Tissue C. Just anatomical and functional images Any imaging depth Good Resolution WB Imaging Minute Scanning Time Semi-Expensive Anatomy	 
Contrast Materials	Ba, I, Kr, Xe, Au	
Clinical Use	Tumor perfusion, Ca-score, Ventillation	
Voxel Sizes, Cells Per Voxel	1x1x1 mm 1 million	

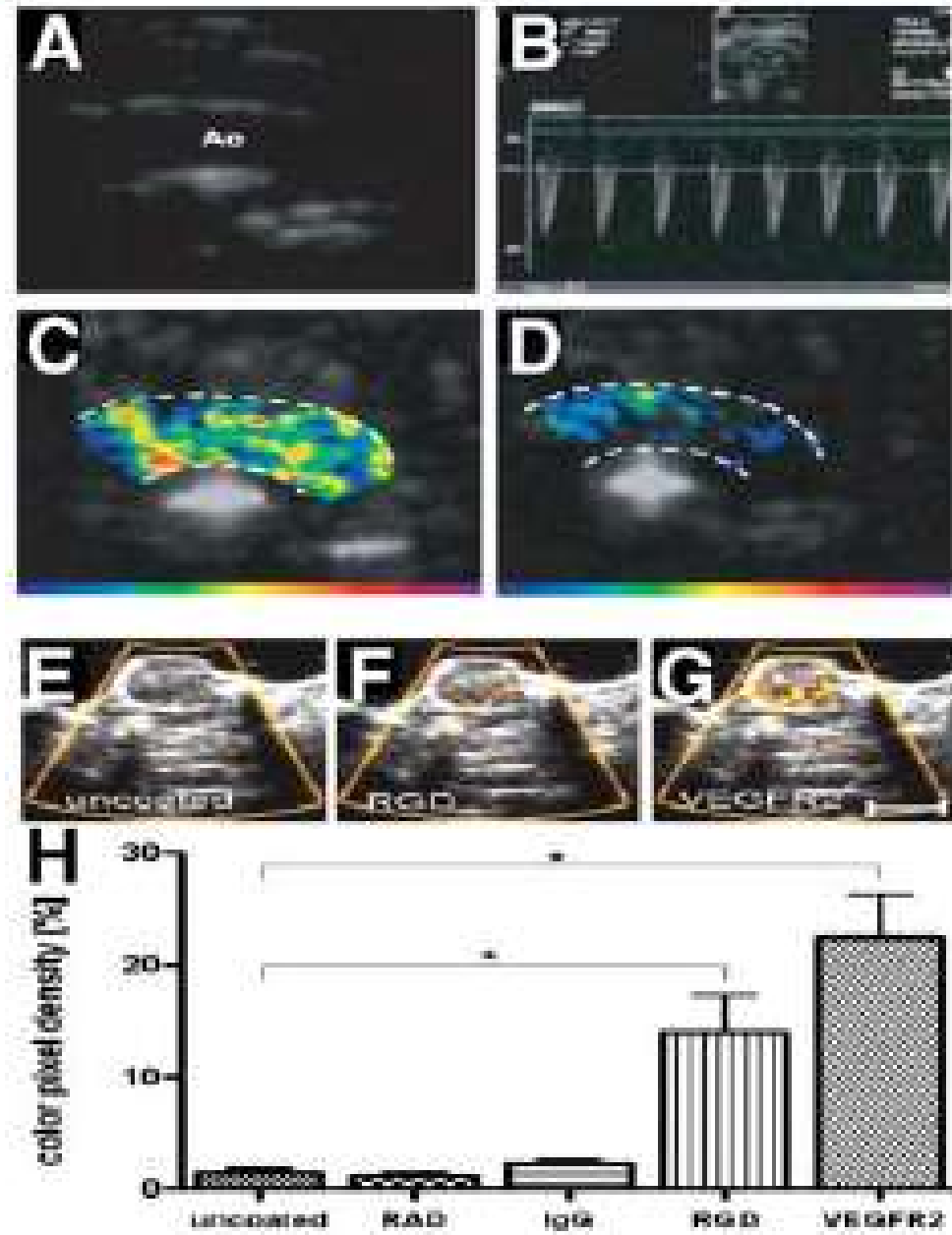


NIVIC

Nanobiotechnology and In Vivo Imaging Center

Nanobiotechnológiai és In Vivo Képalkotó Központ

UltraSound	3D differences in echo and spreading of sound waves
Advantages	No ionizing radiation Fast/RT imaging High Sensitivity High Resolution Cheap
Disadvantages	No WB img. Only vascular contrast materials Operator dependency
Contrast Materials	Micro-Bubbles
Clinical Use	Focal liver lesions, Echocardiography, Blood perfusion...Rare, Prostate Cancer VEGF Expression (Phase III BR55)
Voxel Sizes, Cells Per Voxel	1x1x1 mm 1 million

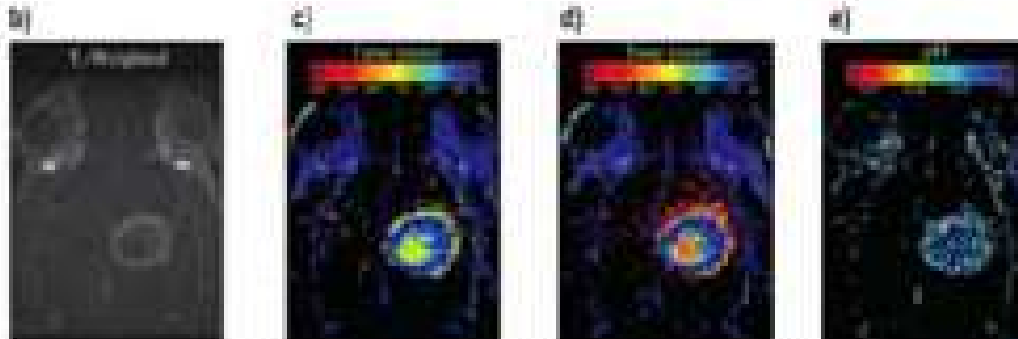
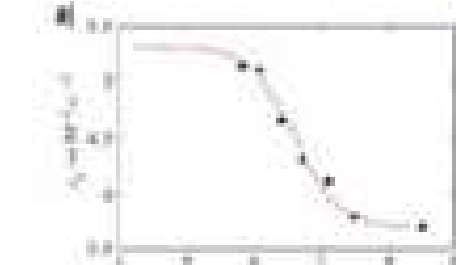
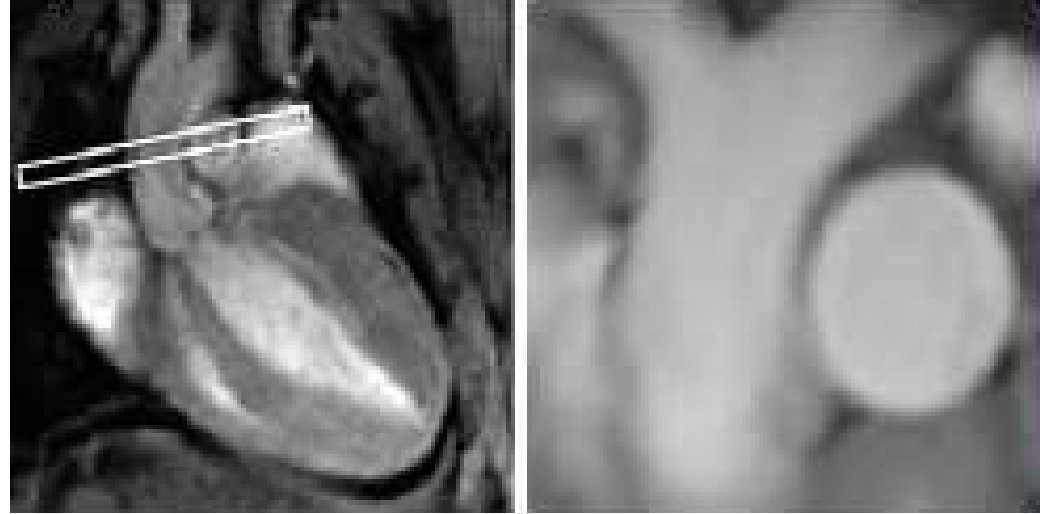


Semmelweis
NIVIC

Nanobiotechnology and In Vivo Imaging Center

Nanobiotechnológiai és In Vivo Képalkotó Központ

MRI (IRM...)	3D / 2D Image of Proton Spins
Advantages	Any Imaging Depth and Plane WB Imaging No ionizing radiation High Soft Tissue Contrast
Disadvantages	Expensive Low Sensitivity Long imaging time
Contrast Materials	Gd ³⁺ , iron-oxide particles (SPIO, USPIO)
Clinical Use	Liver, Brain Lesions, Cardio-MRI
Voxel Sizes, Cells Per Voxel	1x1x1 mm 10^{13}

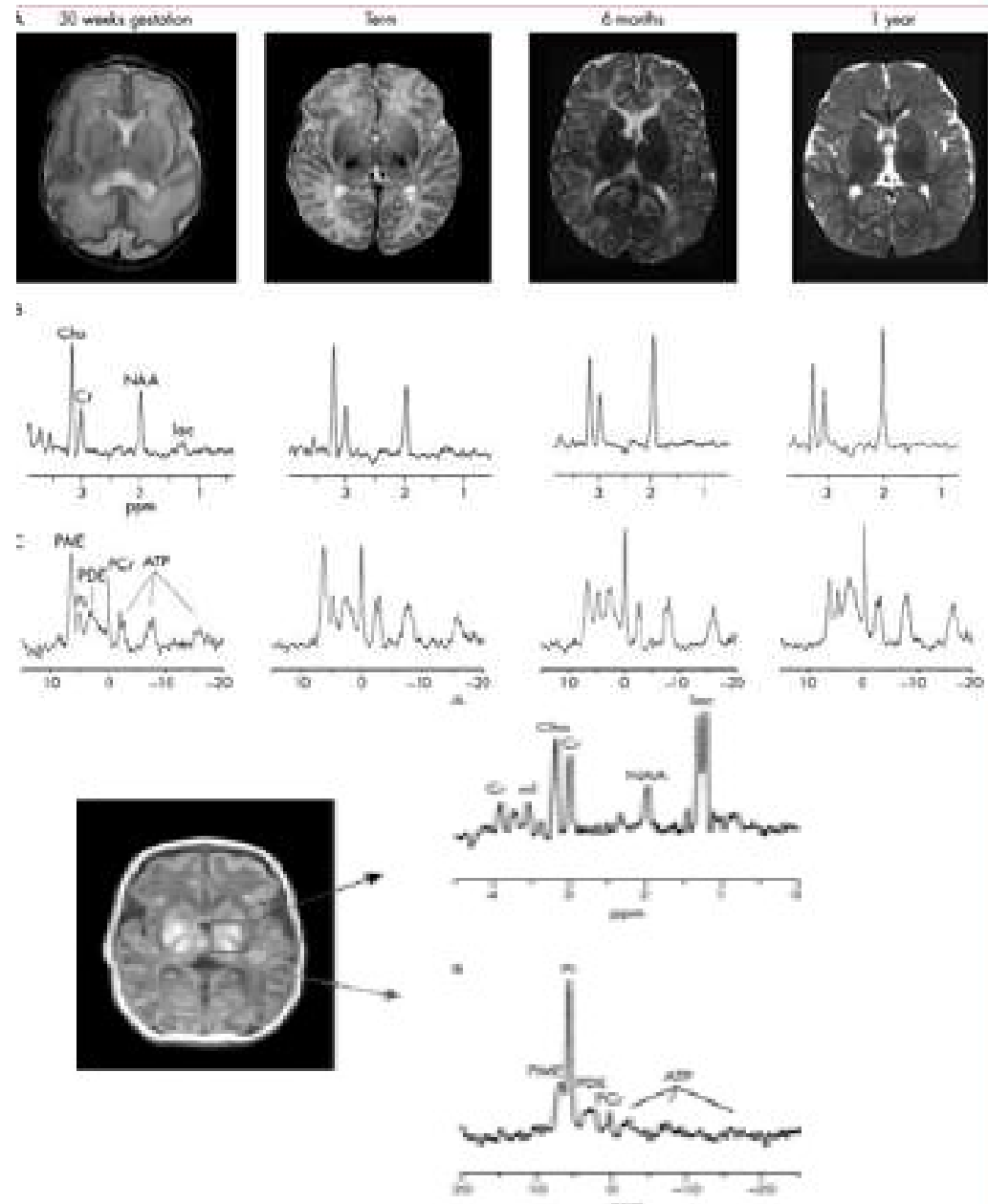


Semmelweis
NIVIC

Nanobiotechnology and In Vivo Imaging Center

Nanobiotechnológiai és In Vivo Képalkotó Központ

MRS	Recorded Electromagnetic Resonance Spectrum
Advantages	No ionizing radiation WB Imaging
Disadvantages	Expensive Very low sensitivity External Calibration / Special Knowledge
Contrast Materials	Cholin, Lactate, Creatin, Lipids, N-Ac-Aspartate
Clinical Use	Brain Tumor Stratification, Stroke
Voxel Sizes, Cells Per Voxel	N.A.

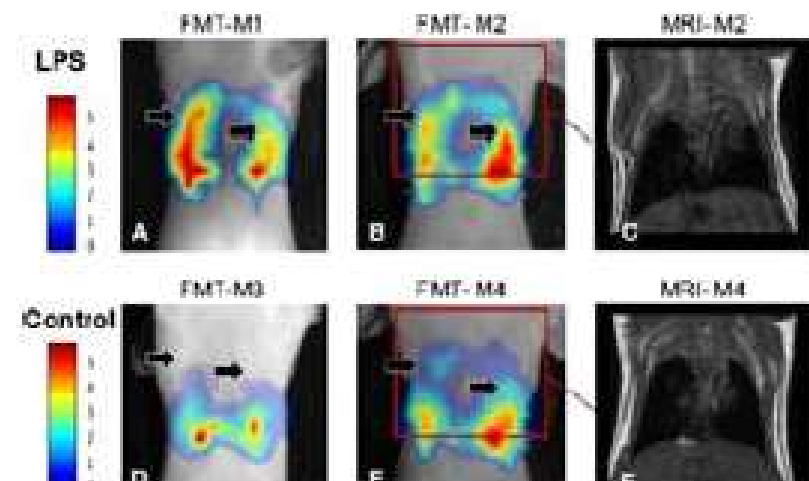
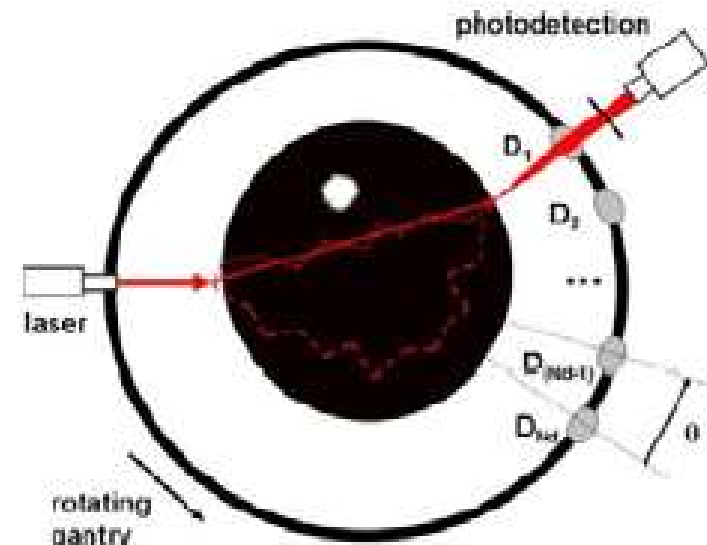


Semmelweis
NIVIC

Nanobiotechnology and In Vivo Imaging Center

Nanobiotechnológiai és In Vivo Képalkotó Központ

Optical Methods	Visible/NIR Light Transmission/Reflectance/Emissio n/ Scatter in 2D , 3D
Advantages	No ionizing radiation Short/RT Imaging High Spatial Resolution Very Sensitive, Semi-Quantitative Multiplex
Disadvantages	Limited Transparency No WB imaging
Contrast Materials	Fluorescent molecules, Light-emitting reactions, Dyes, QD-s, NP-s
Clinical Use	Experimental, Sentinel Ln., Image-Guided Surgery, Retinopathies (OCT), Mammary screening (LumaGem)
Voxel Sizes, Cells Per Voxel	2D: 0.01 mm ² 3D: 0.8x0.8x0.8 cm 10^3 (2D), 10^{13} (3D): cca. 10^{4-5} per cell

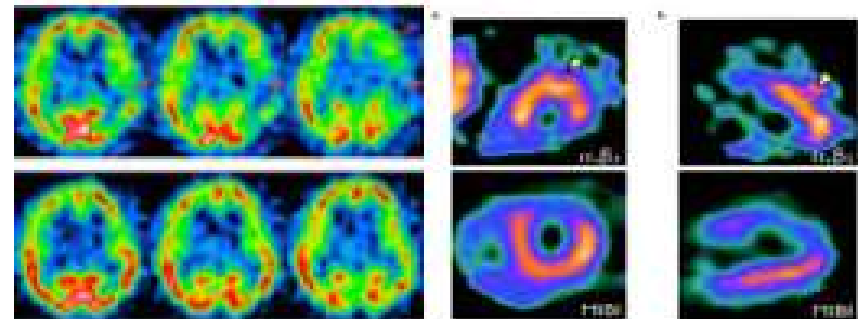


Semmelweis
NIVIC

Nanobiotechnology and In Vivo Imaging Center

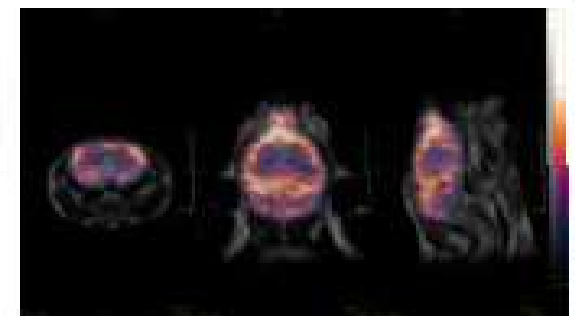
Nanobiotechnológiai és In Vivo Képalkotó Központ

SPECT	3D Gamma-ray Source Array in Tissue
Advantages	Any imaging depth WB Imaging Quantitative Good resolution Multiplexing Theragnostics Combination w/CT
Disadvantages	Radiation Dose Sub-mm Resol. Long imaging times
Contrast Materials	Tc-99m, I-123, In-111, Lu-177, Ho-166, Tl-201
Clinical Use	Nuclear Cardiology, Brain Perfusion, Oncology (AB, Peptides), Receptor T.
Voxel Sizes, Cells Per Voxel	Clinical: 0.8 x 0.8 x 0.8 mm Small A: 0.3 x 0.3 x 0.3 mm 2 pM / voxel 1/10 atom per cell



I-123 iomazenil agyi SPECT

Tc-99m-MIBI szív perfúzió + angioneogenezis SPECT I-123-integrin liganddal

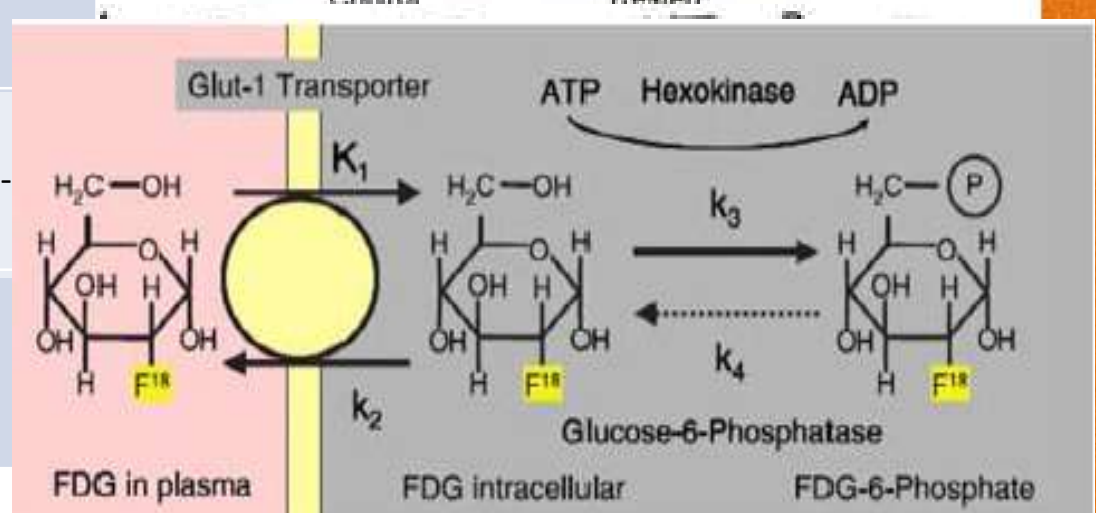
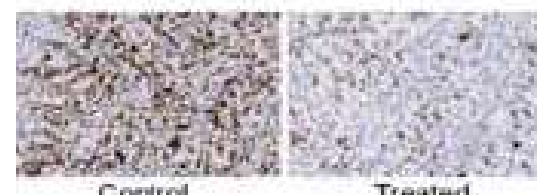
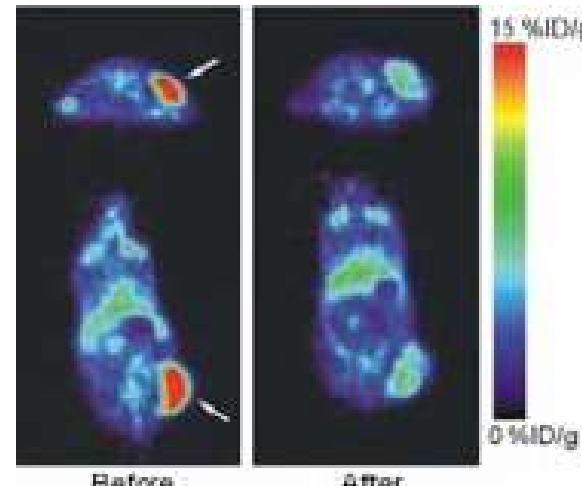


Semmelweis
NIVIC

Nanobiotechnology and In Vivo Imaging Center

Nanobiotechnológiai és In Vivo Képalkotó Központ

PET	3D 511 keV Gamma-ray Source Array in Tissue
Advantages	Any imaging depth WB Imaging Quantitative Anatomical Co-registration CT, MRI
Disadvantages	Radiation Dose PRICE Resolution Longer imaging times
Contrast Materials	C-11, F-18, Ga-68, Cu-64, Zr-89
Clinical Use	FDG Patient Staging+Follow-
Voxel Sizes, Cells Per Voxel	5 x 5x 5 mm 0.6 x 0.6 x 0.6 mm 0.02 pM/voxel 1/100 atom per cell



Semmelweis
NIVIC

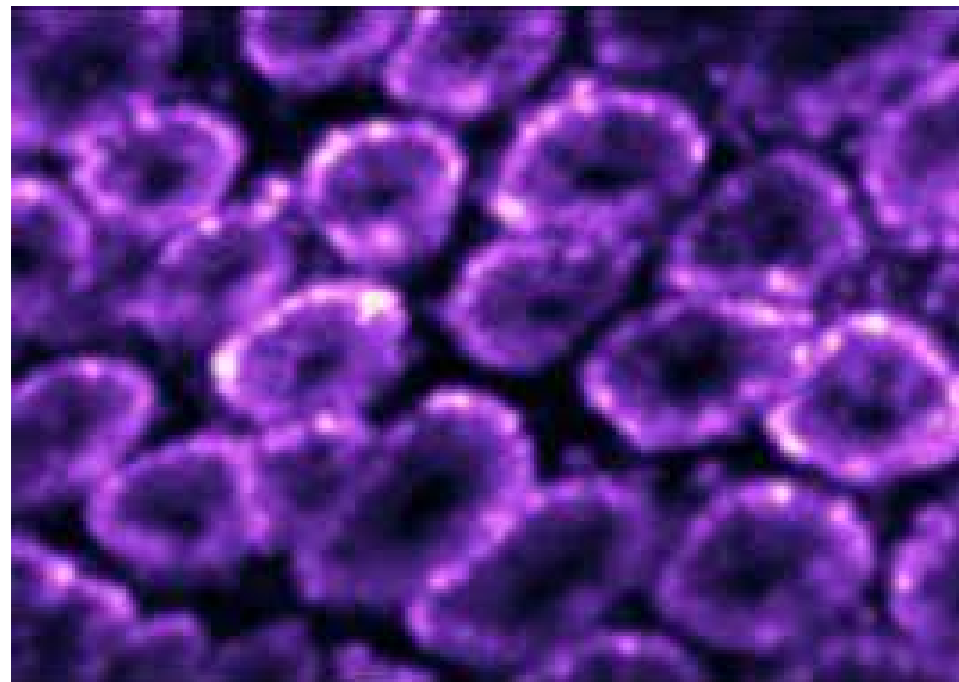
Nanobiotechnology and In Vivo Imaging Center

Screening-Confocal Endomicroscopy



In vivo real time image of a patient's
colonic crypts

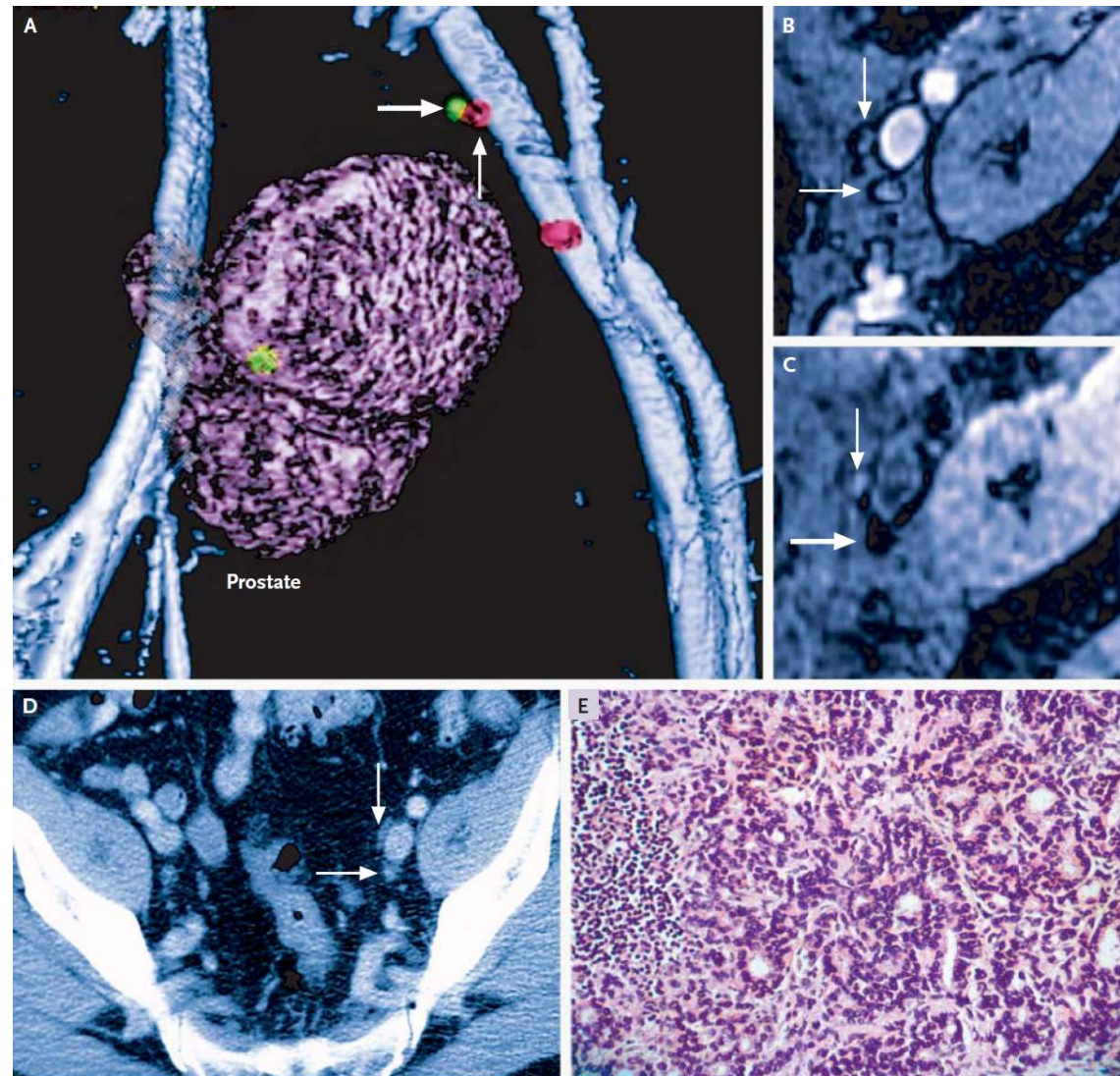
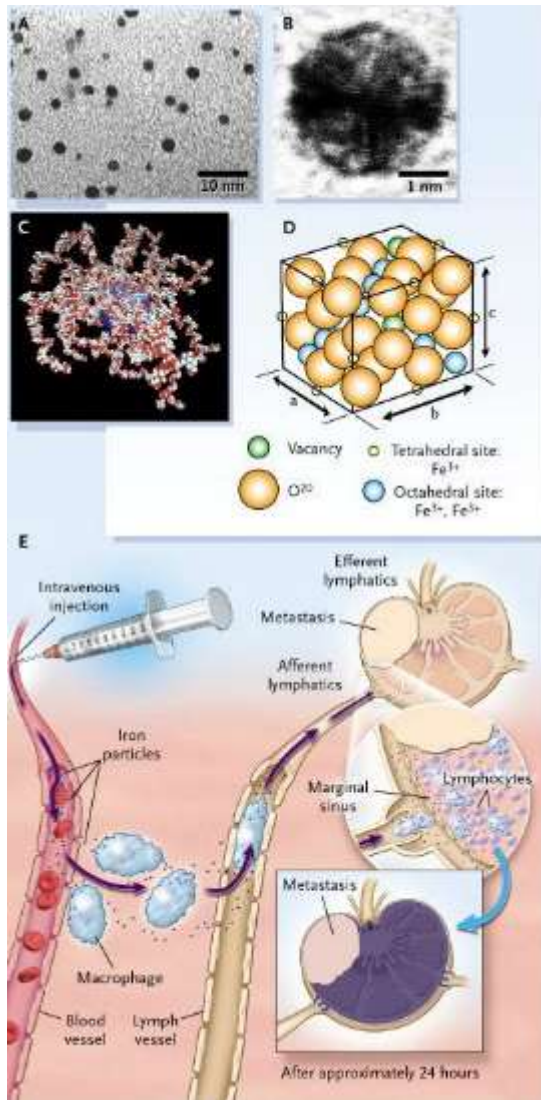
Oesophagus, stomach, bile ducts,
ileal/colonic mucosa examined on cell level
using fiber optic confocal microscope at
autofluorescence emission/excitation wl-s



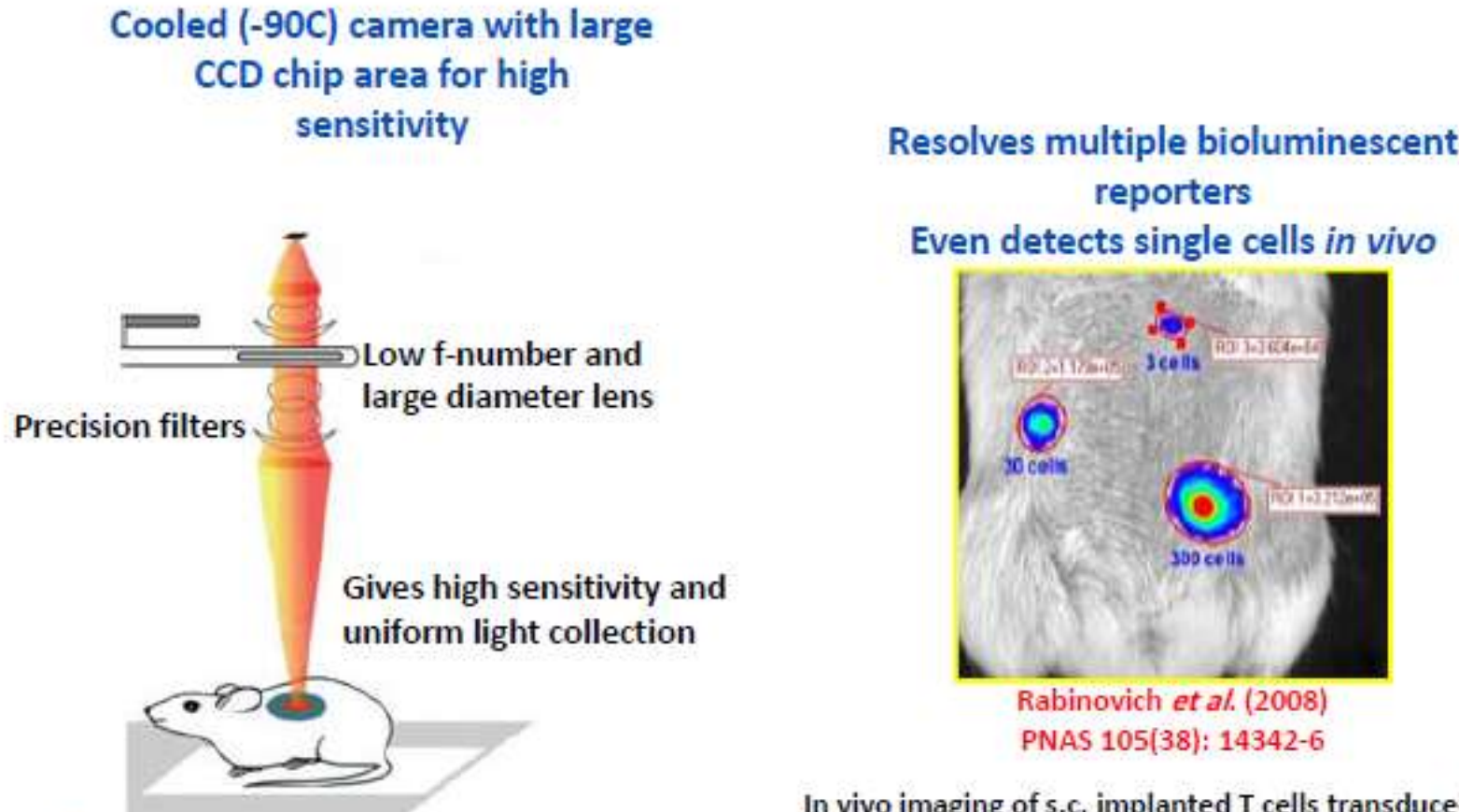
Semmelweis
NIVIC

Nanobiotechnology and In Vivo Imaging Center

Diagnostics-USPIO MRI-A SAD STORY



BIOLUMINESCENCE-The power of nature helping to collect IF-s Firefly, Jellyfish – TG animals



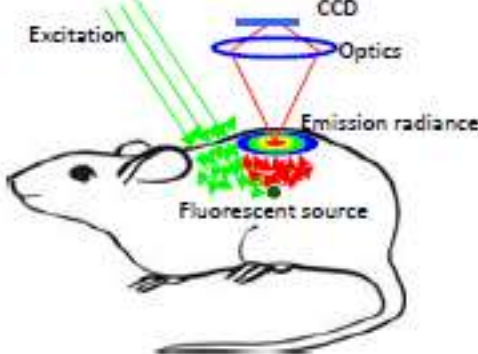
Semmelweis
NIVIC

Nanobiotechnology and In Vivo Imaging Center

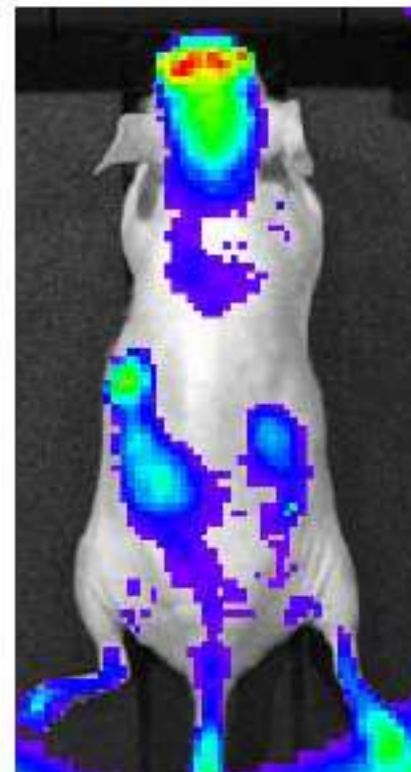
FLUORESCENCE IMAGING

Cooled (-90C) camera with large CCD chip area for high sensitivity and a choice of imaging modes for maximal flexibility, e.g., transmission for deep tissues.

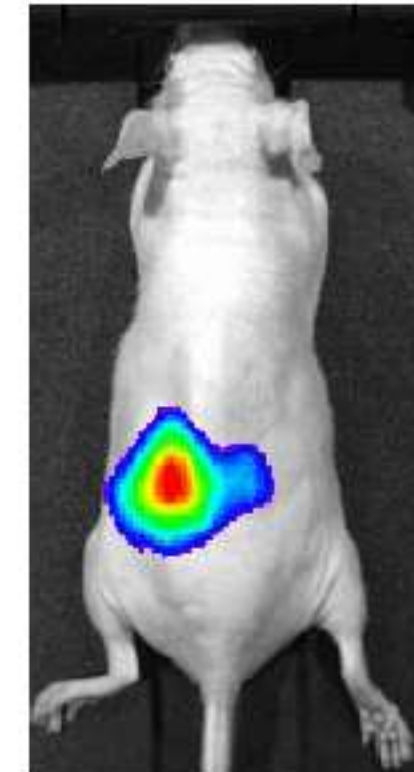
Reflectance



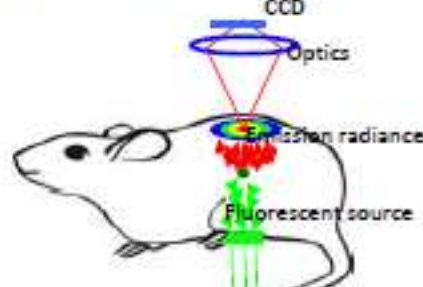
Epi-Illumination



Transillumination



Transmission



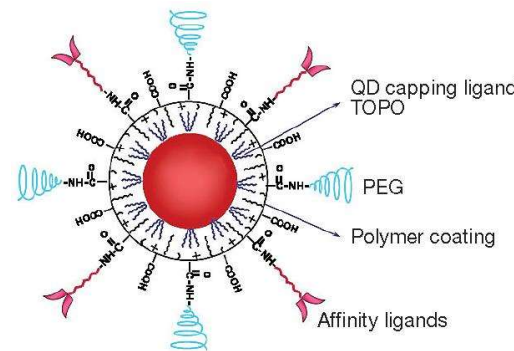
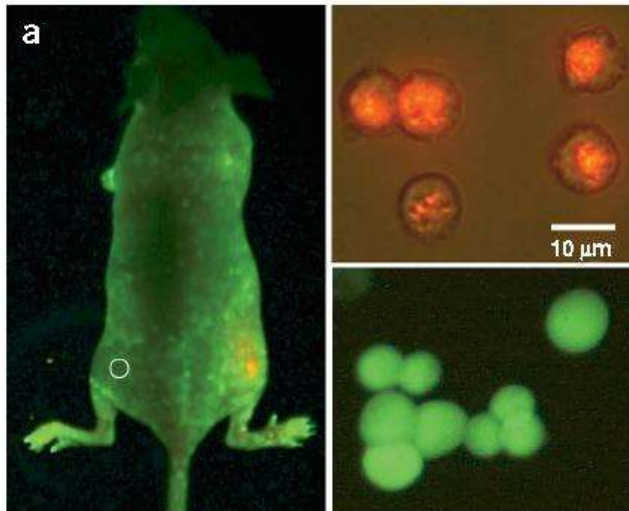
Pillow implanted medial to left kidney, 1x10¹⁵ molecules



Semmelweis
NIVIC

Nanobiotechnology and In Vivo Imaging Center

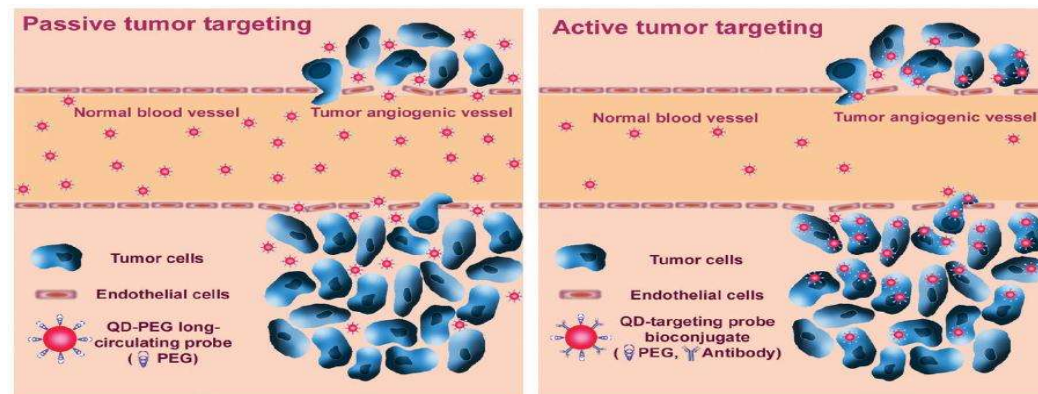
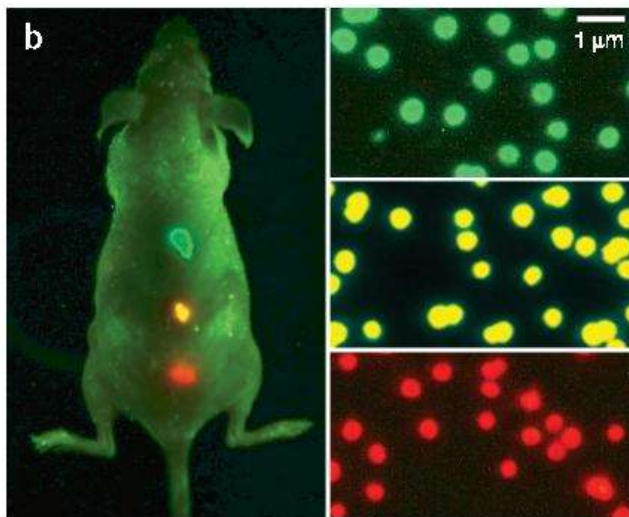
Nanobiotechnológiai és In Vivo Képalkotó Központ



QD capping ligand: TOPO

PEG: poly (ethylene glycol)
+CH₂-CH₂-O- MW = 5,000

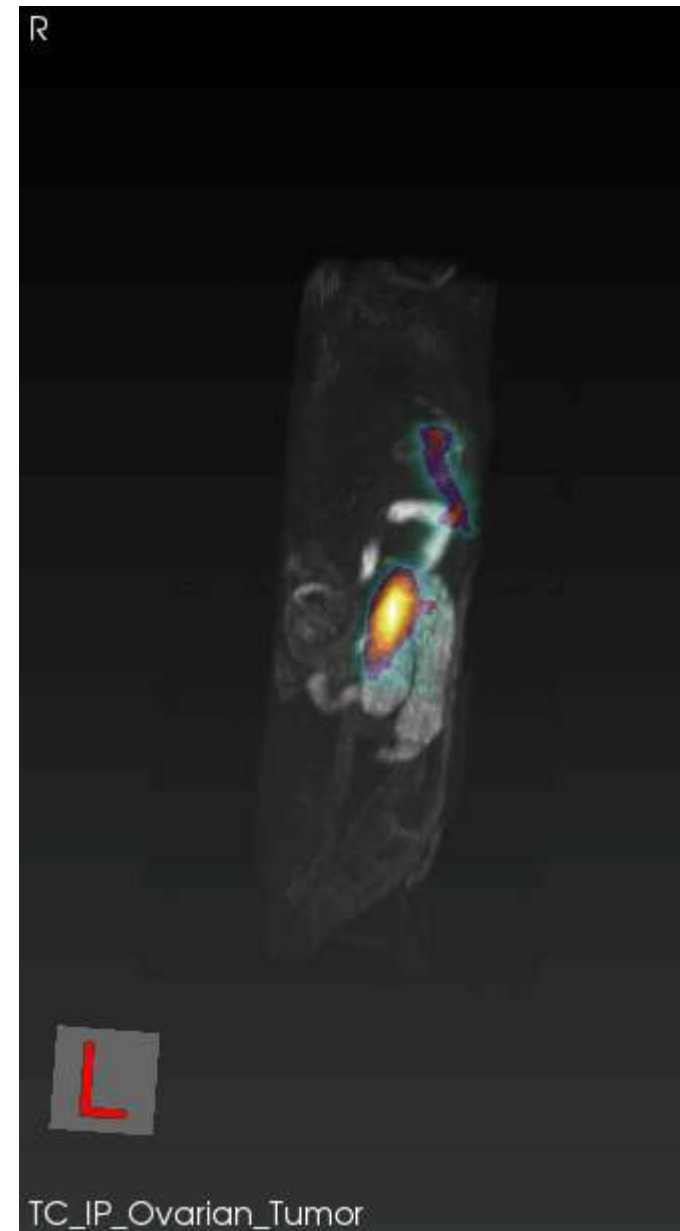
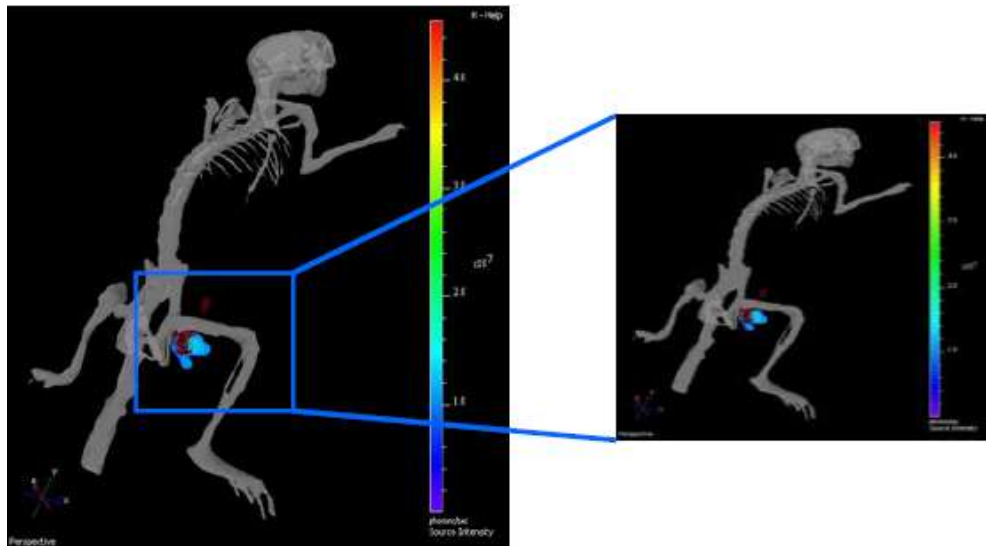
Affinity ligands: antibody, peptide, small-molecule drug, inhibitors



Semmelweis
NIVIC

Nanobiotechnology and In Vivo Imaging Center

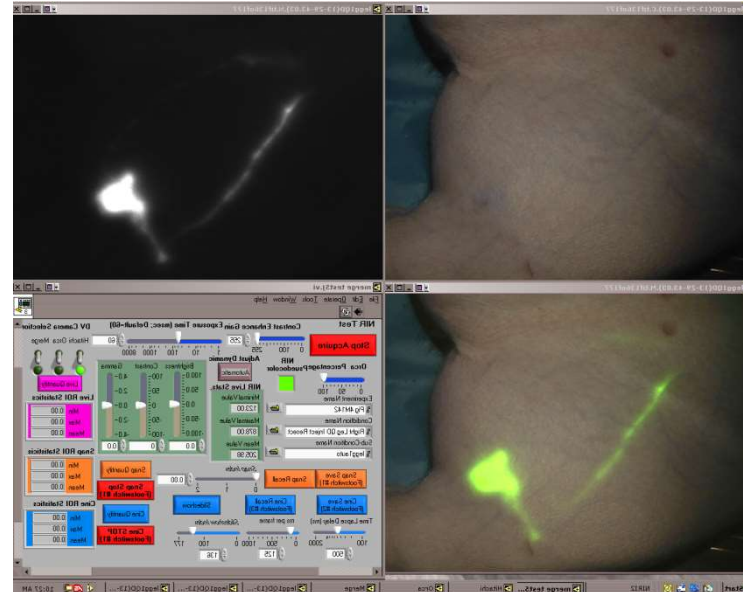
3D Optical Tomography



Semmelweis
NIVIC

Nanobiotechnology and In Vivo Imaging Center

Image guided surgery



John Frangioni FLARE Harvard



Semmelweis
NIVIC

Nanobiotechnology and In Vivo Imaging Center

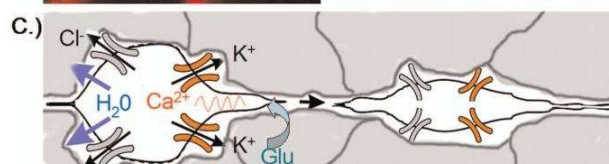
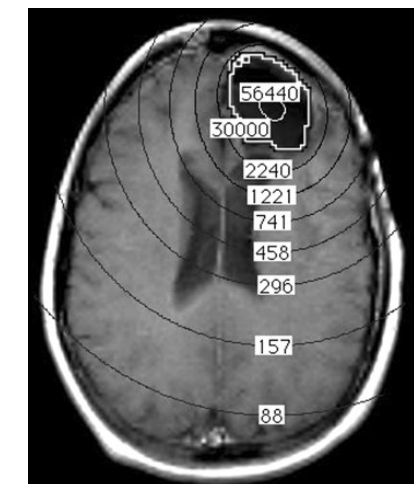
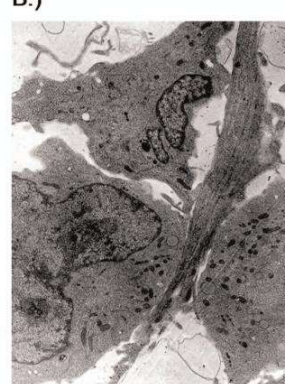
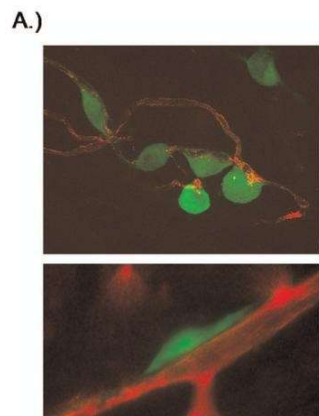
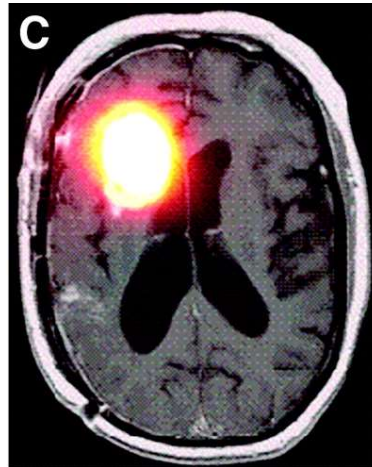
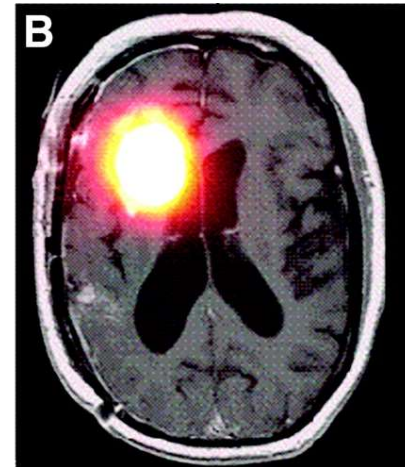
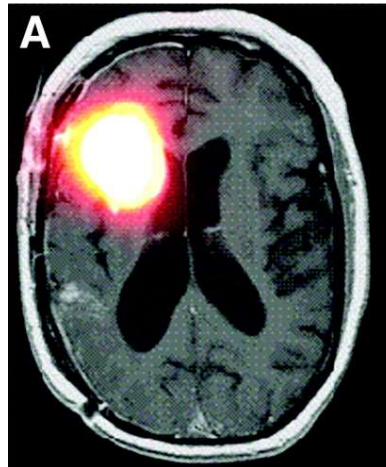
Planar Fluorescence In the Clinic



Semmelweis
NIVIC

Nanobiotechnology and In Vivo Imaging Center

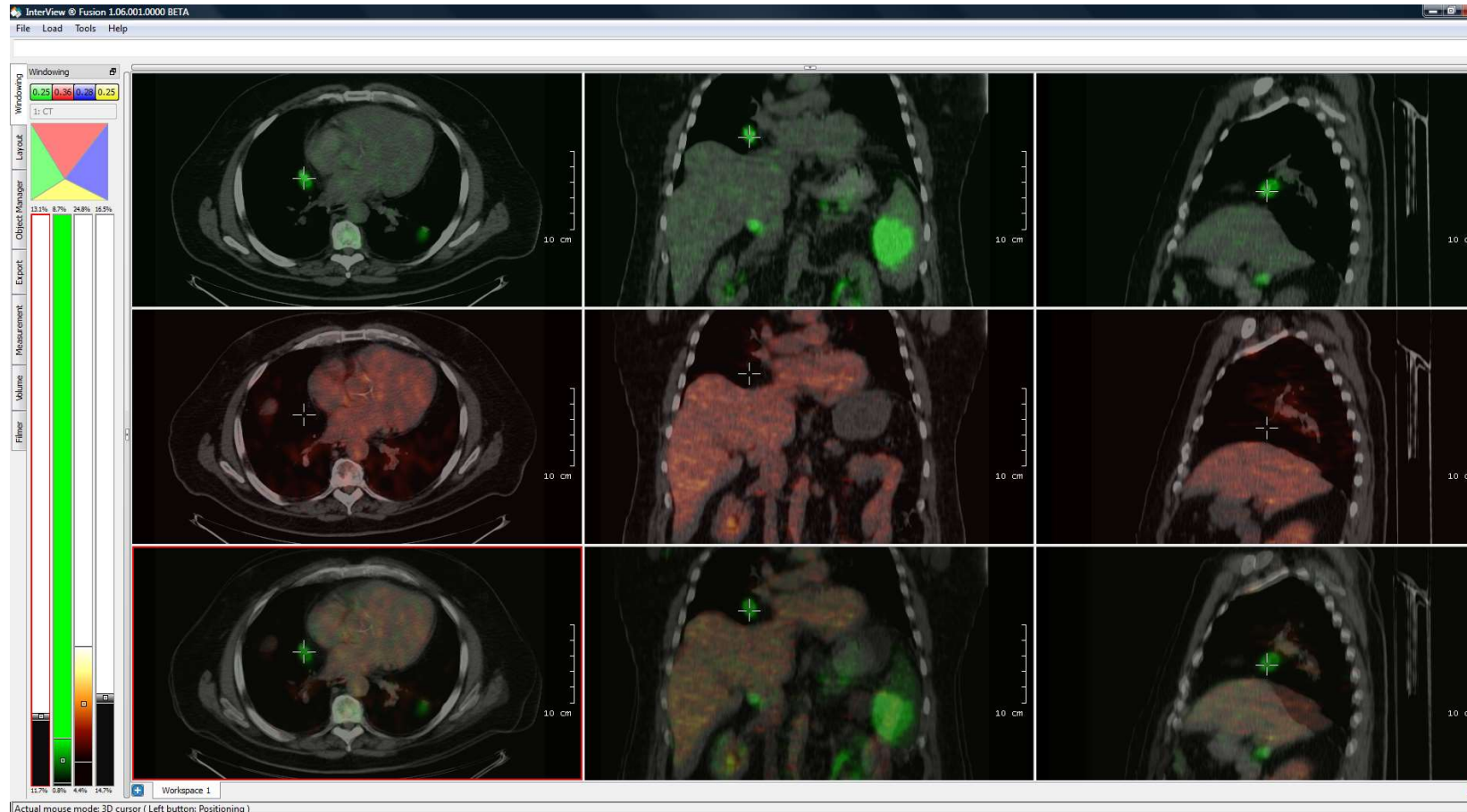
Personalized Targeted Therapy: SPECT/MRI/RNT



Semmelweis
NIVIC

Nanobiotechnology and In Vivo Imaging Center

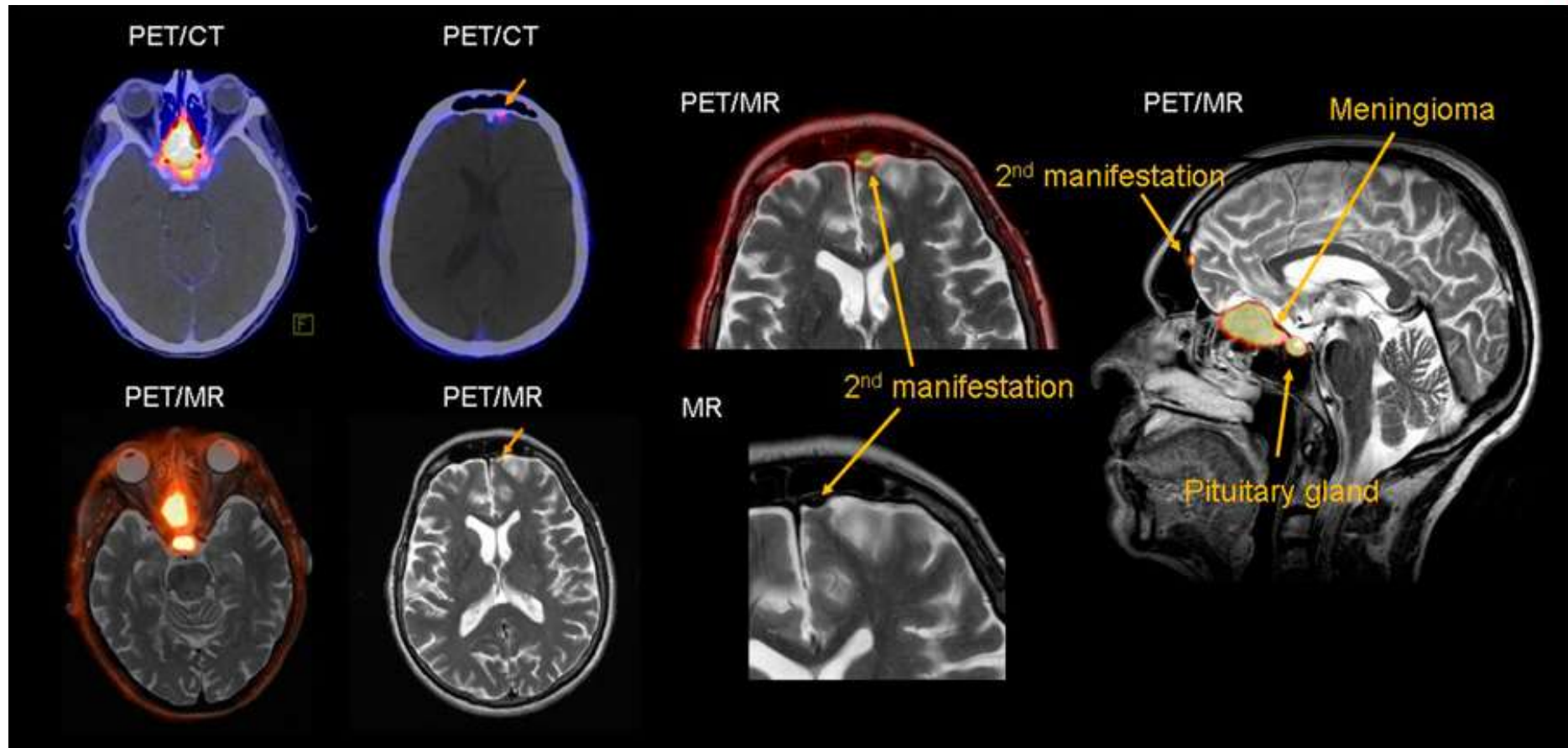
Monitoring with FDG-PET



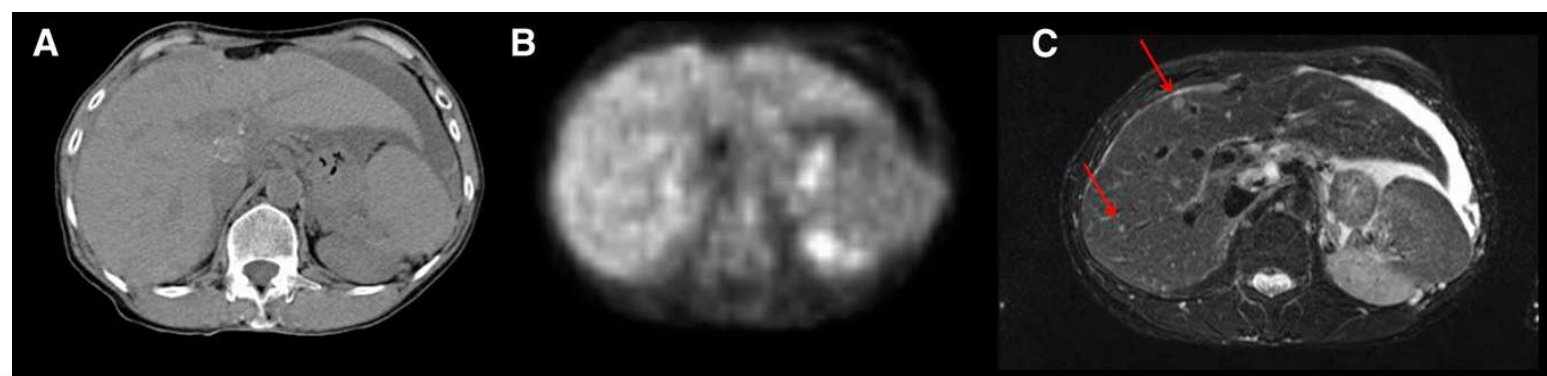
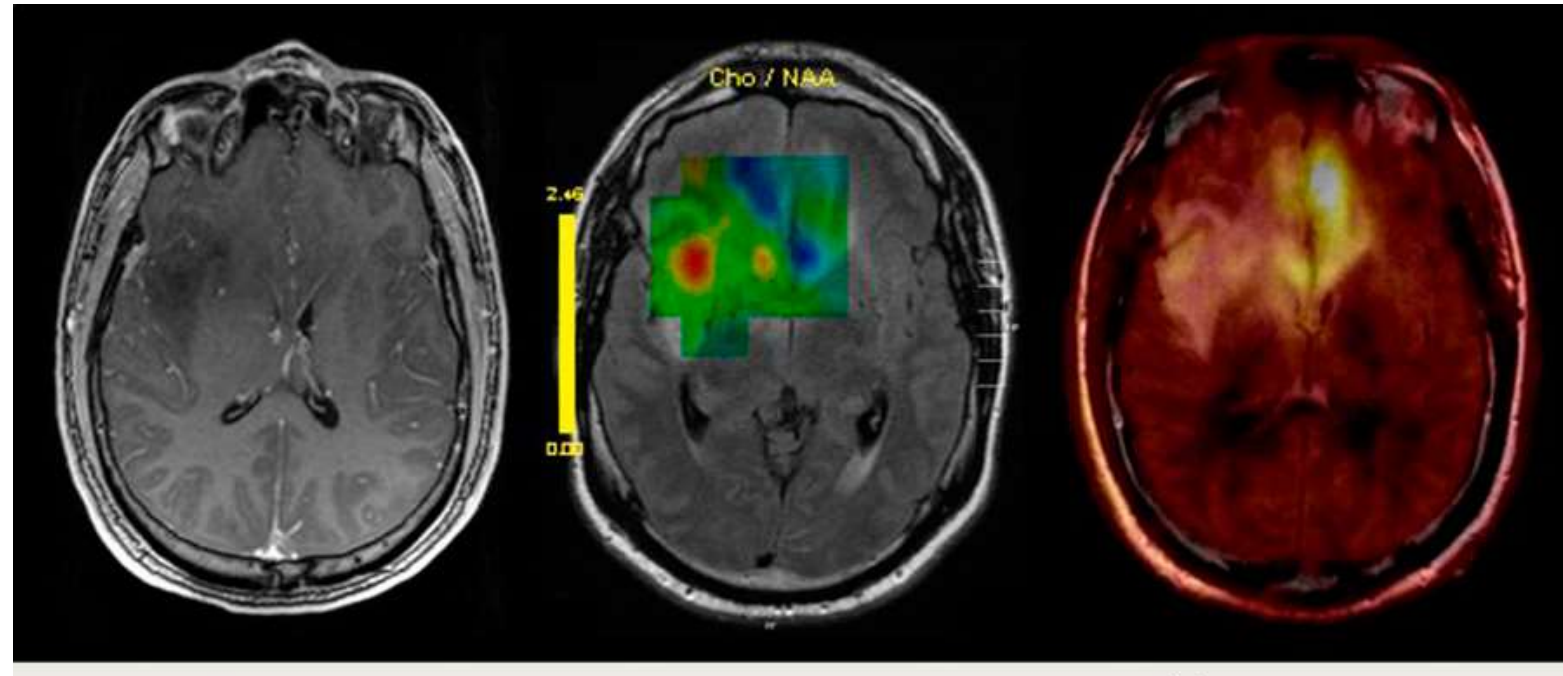
Semmelweis
NIVIC

Nanobiotechnology and In Vivo Imaging Center

PET/MRI



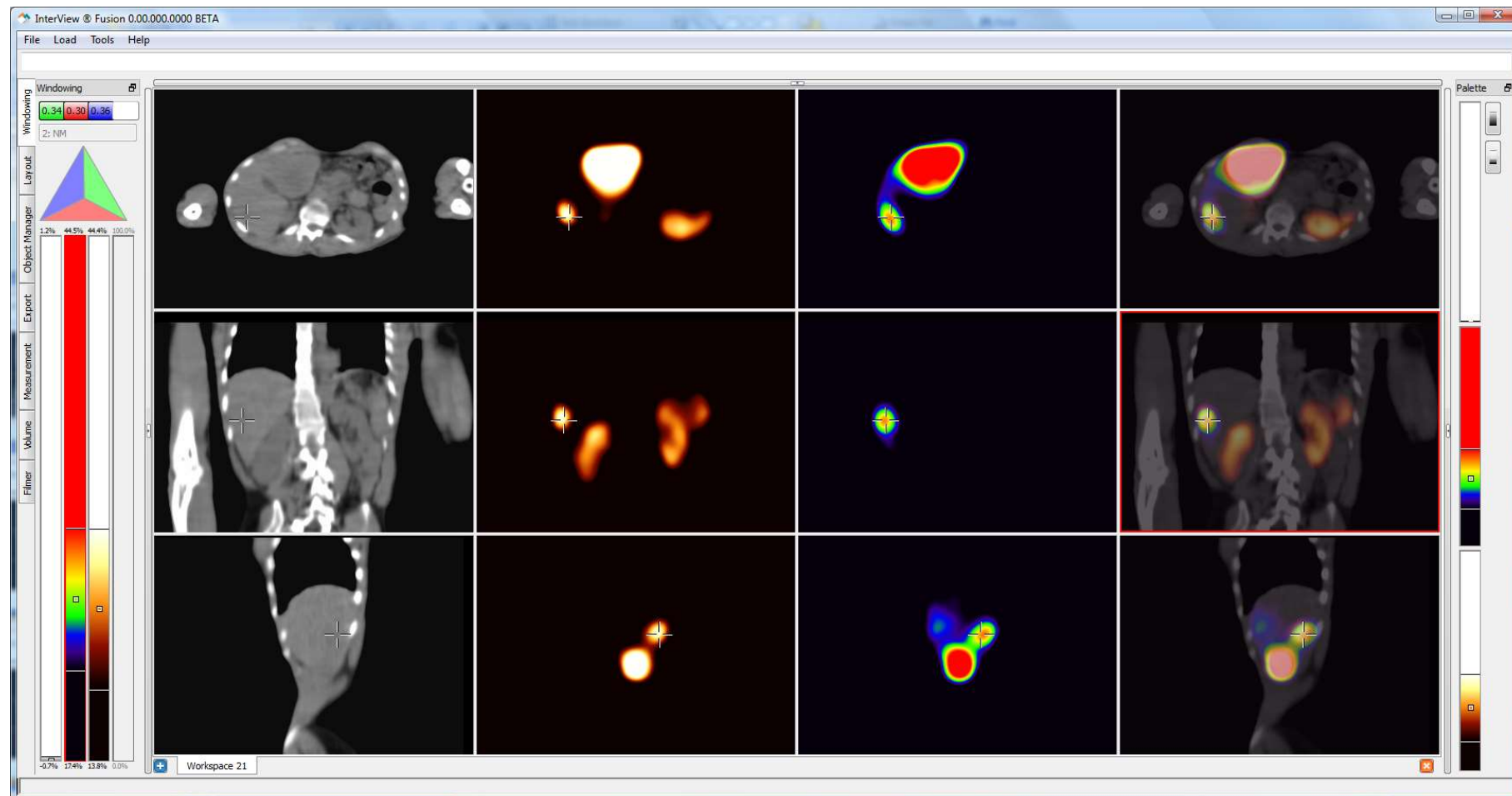
Nanobiotechnológiai és In Vivo Képalkotó Központ
PET/MRI



Semmelweis
NIVIC

Nanobiotechnology and In Vivo Imaging Center

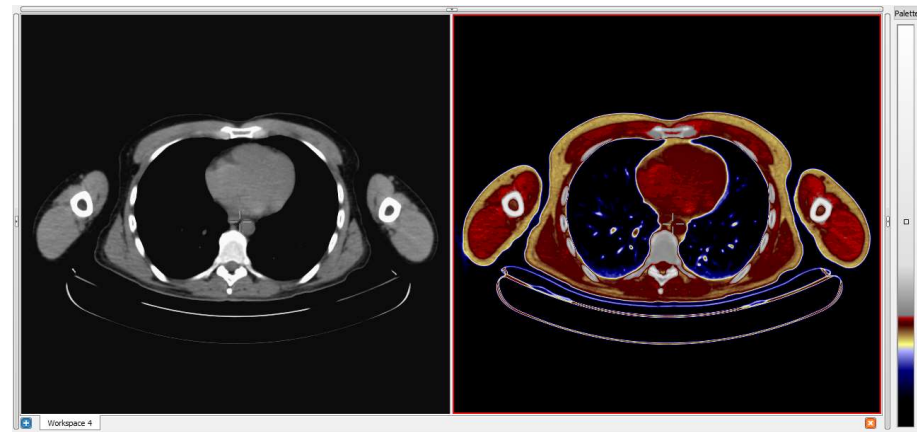
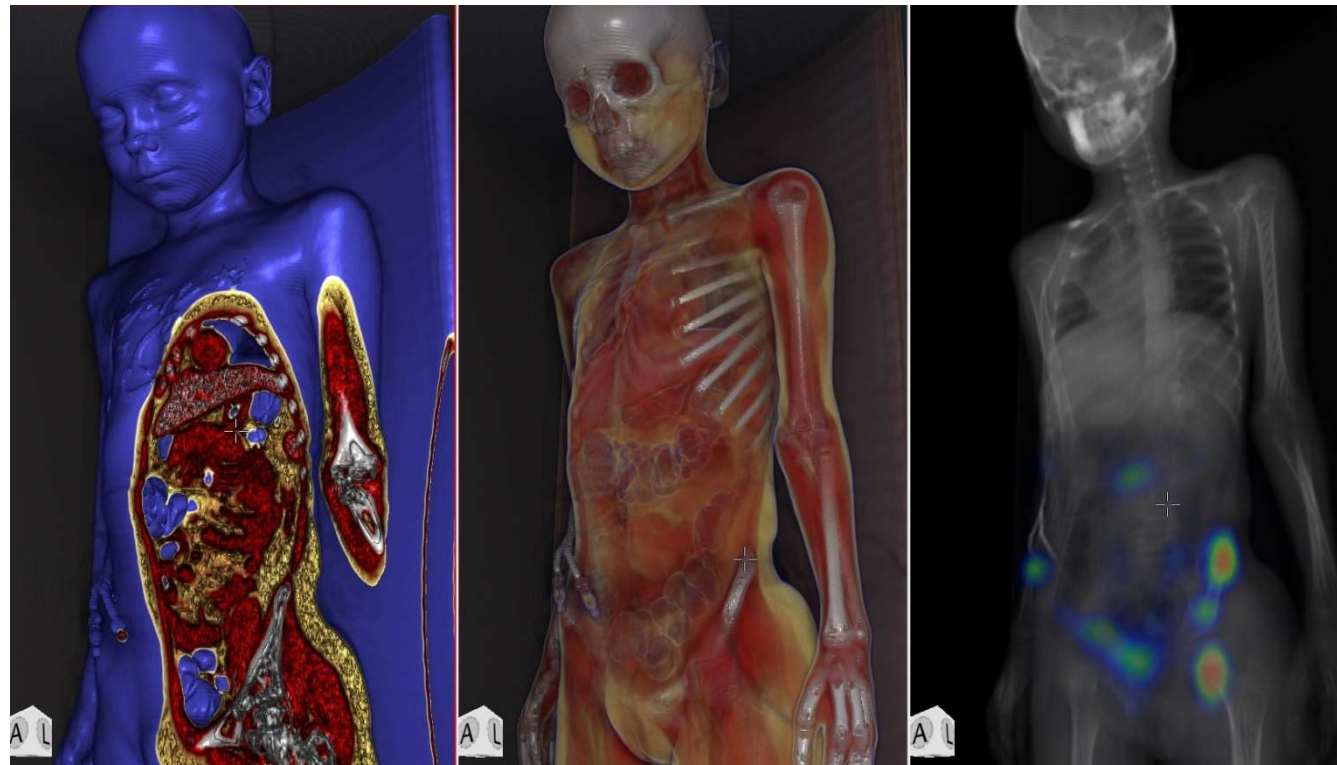
SPECT for neuro-endocrine tumor treatment/assessment



Semmelweis
NIVIC

Nanobiotechnology and In Vivo Imaging Center

SPECT-CT look-up table (color scale)



Semmelweis
NIVIC

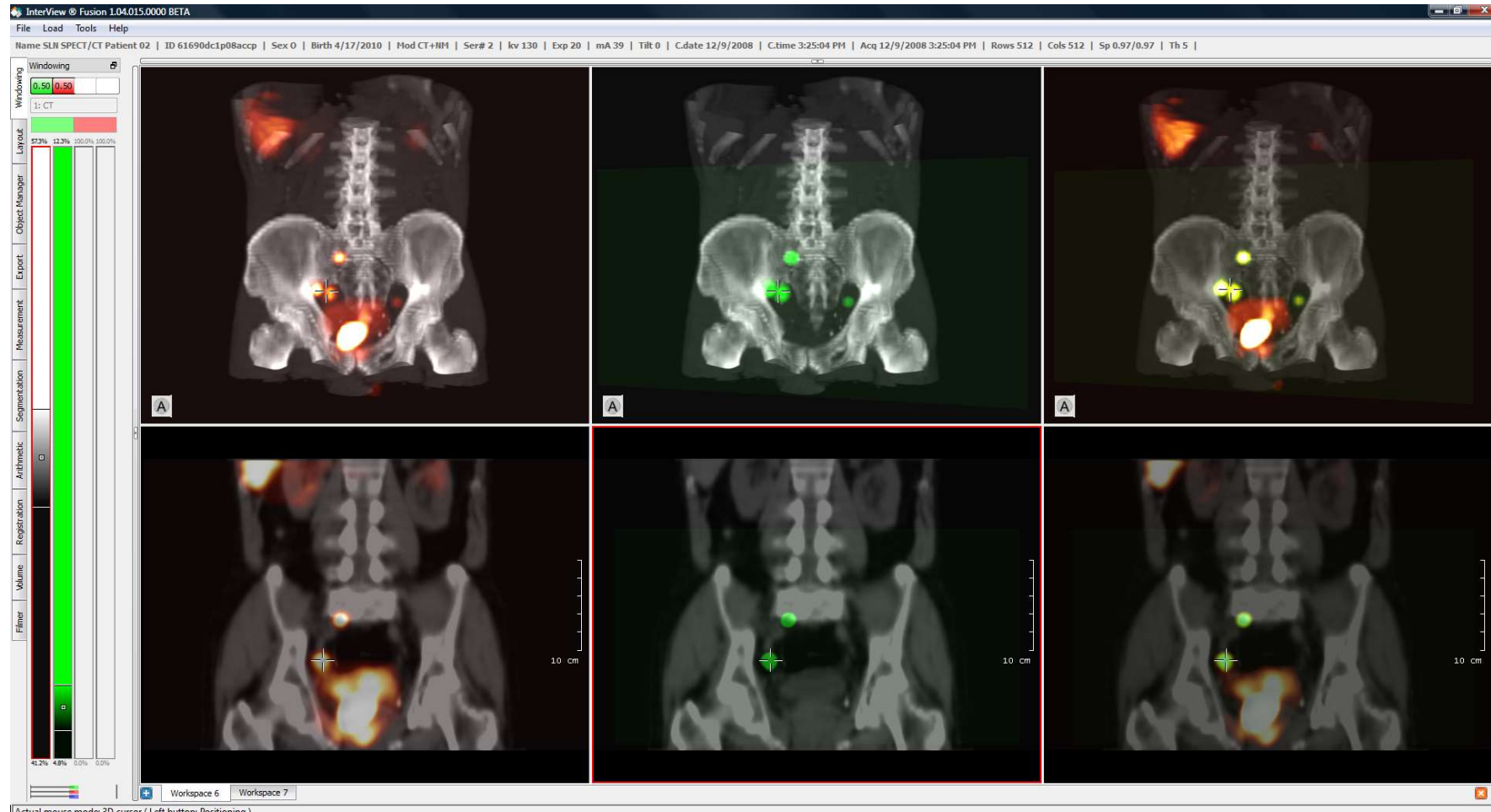
Nanobiotechnology and In Vivo Imaging Center

Segmentation

Triple fusion
(Segmented SPECT-
SPECT-CT)

SLN SPECT-CT

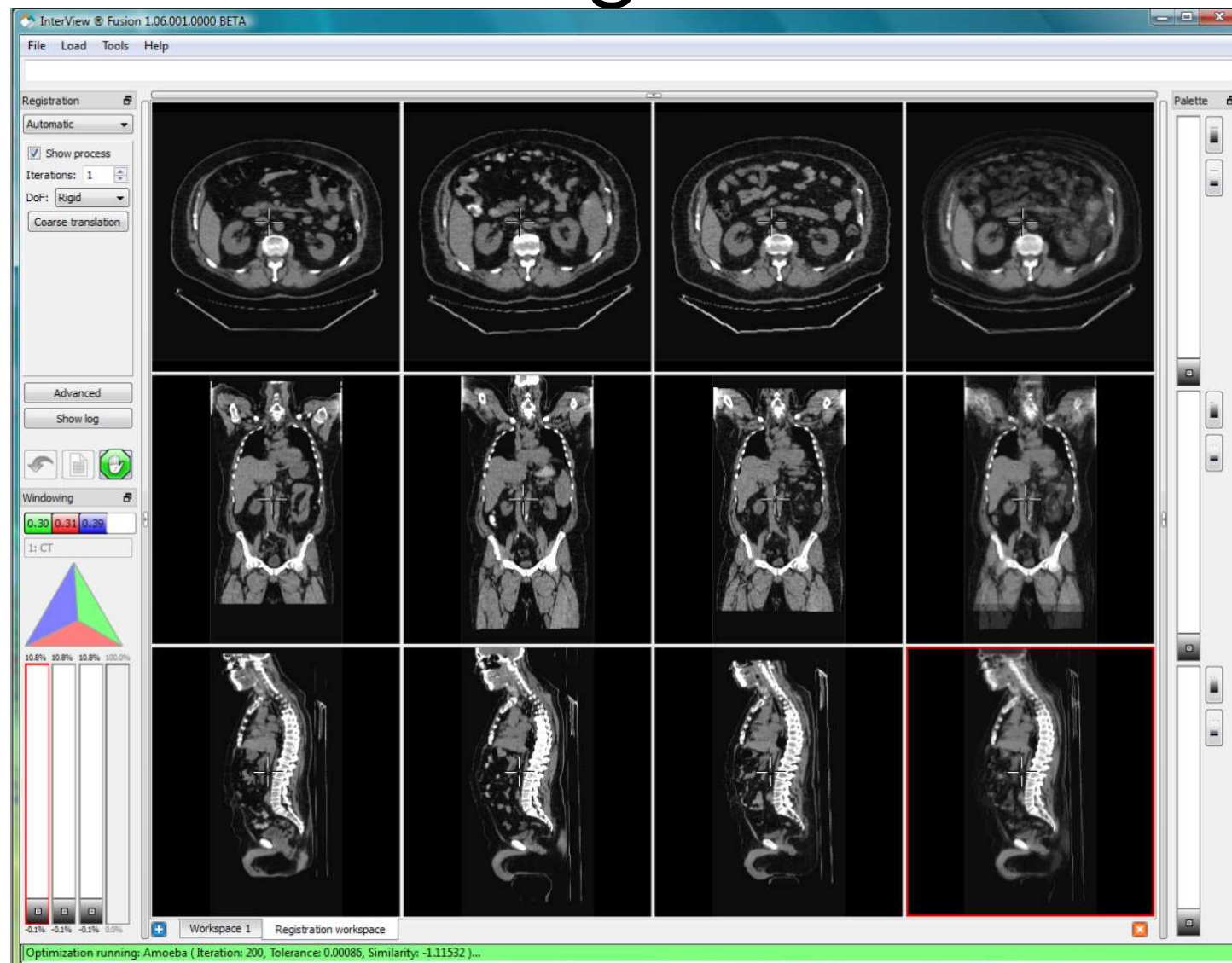
Segmented SPECT-CT



Semmelweis
NIVIC

Nanobiotechnology and In Vivo Imaging Center

Co-registration

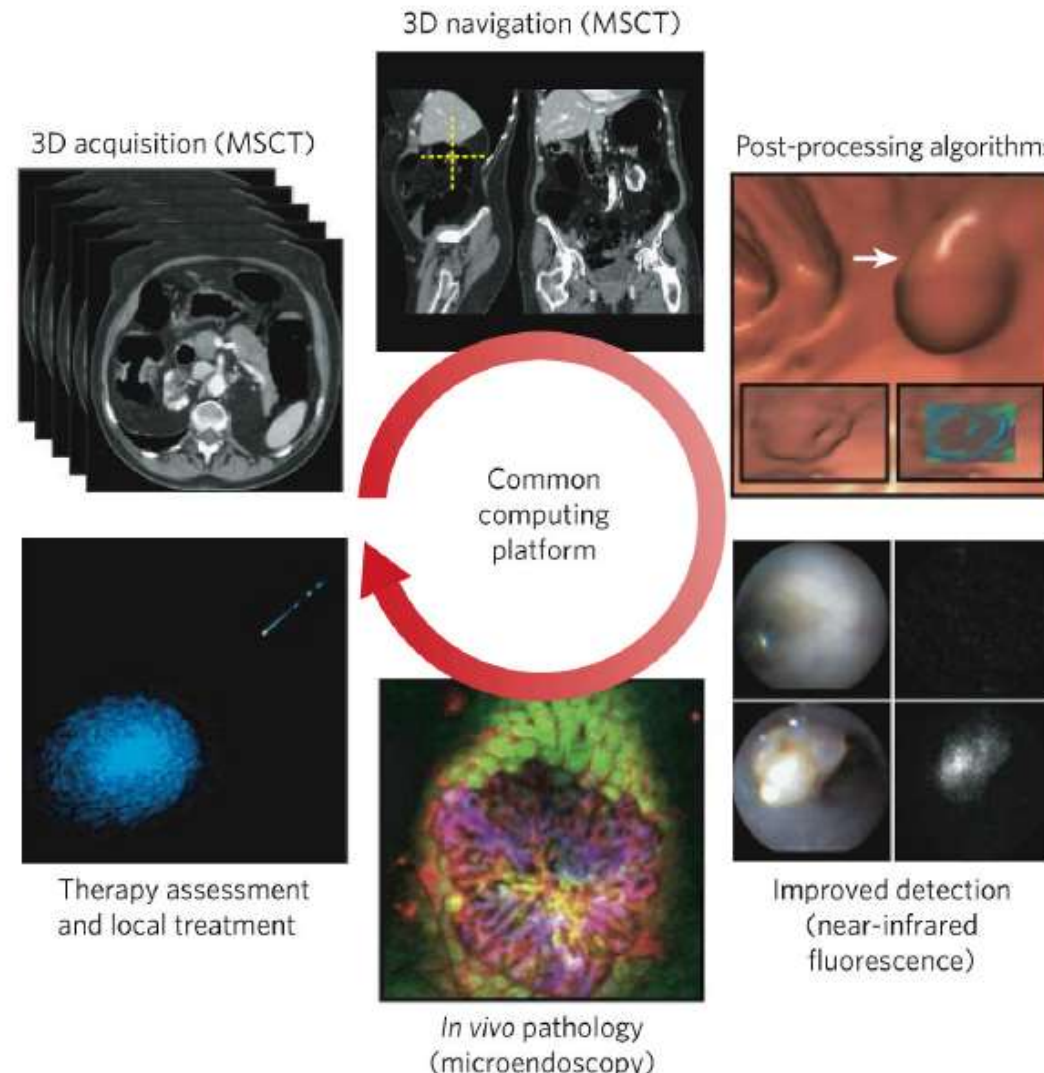


Semmelweis
NIVIC

Nanobiotechnology and In Vivo Imaging Center

Nanobiotechnológiai és In Vivo Képalkotó Központ

Imaging in Clinical PACS (MGH)



Semmelweis
NIVIC

Nanobiotechnology and In Vivo Imaging Center

Thanks!

- domokos.mathe@cromedresearch.com



Semmelweis
NIVIC

Nanobiotechnology and In Vivo Imaging Center